

DOI: <http://doi.org/10.5281/zenodo.1326666>

ISSN 2225-6717 Выпуск №41
2018

Доклады **Н**езависимых **А**второв

Авиация и космонавтика
Логика
Строительство
Физика и астрономия

Хмельник С.И.

Новое решение уравнений Максвелла для сферической волны

Оглавление

1. Введение
 2. Решение уравнений Максвелла
 3. Поток энергии
 4. Заключение
- Литература
Таблицы

Аннотация

Отмечается, что известное решение для сферической электромагнитной волны не удовлетворяет закону сохранения энергии (она сохраняется только в среднем), одноименные (по координатам) электрические и магнитные напряженности синфазны, выполняется только одно из системы уравнений Максвелла, решение не является волновым, отсутствует поток энергии с реальным значением. Предлагается решение, свободное от этих недостатков.

1. Введение

В [1] предложено решение уравнений Максвелла для сферической волны в дальней зоне. Далее рассматривается решение уравнений Максвелла для сферической волны во всей области существования волны (без разбиения на зоны). Такая задача возникает при решении уравнений электродинамики для элементарного электрического диполя – вибратора. Решение этой задачи известно и именно на основе этого решения строятся антенны. Вместе с тем это решение обладает рядом недостатков, в частности [2],

1. закон сохранения энергии выполняется только в среднем,
2. решение неоднородно и практически необходимо разбивать его на отдельные зоны (как правило,

- близнюю, среднюю и дальнюю), в которых решения оказываются полностью различными,
3. в ближней зоне отсутствует поток энергии с реальным значением
 4. магнитная и электрическая составляющие синфазны,
 5. в ближней зоне решение не является волновым (т.е. расстояние не является аргументом тригонометрической функции),
 6. известное решение НЕ удовлетворяет системе уравнений Максвелла (решение, удовлетворяющее одному уравнению системы, нельзя считать решением системы уравнений).

На рис. 1 [8] показана картина силовых линий электрического поля, построенная на основе известного решения. Очевидно, что такая картина не может существовать в сферической волне.

Практически указанные недостатки известного решения означают, что они (математические решения) нестрого описывают реальные излучения технических устройств. Более строгое решение, будучи примененным в системах проектирования таких устройств, безусловно, должно повысить их качество.

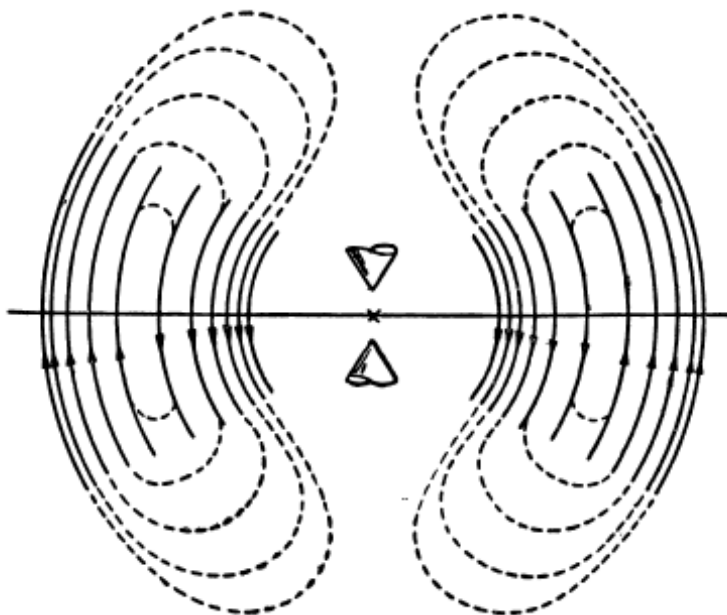


Рис. 1.

2. Решение уравнений Максвелла

Итак, будем использовать сферические координаты. На рис. 1 показана система сферических координат (ρ, θ, φ) . Далее формулы мы будем размещать в таблицах и использовать следующие обозначения:

$T(\text{номер_таблицы})-(\text{номер_столбца})-(\text{номер_строки})$

В таблице **T1-3** приведены выражения для ротора и дивергенции вектора в этих координатах [3]. Здесь и далее

E - напряженность электрического поля,

H - напряженность магнитного поля,

μ - абсолютная магнитная проницаемость,

ε - абсолютная диэлектрическая проницаемость.

Далее мы будем искать решение в виде функций E, H , представленных в таблице **T2-2**, где действительные функции вида $g(\theta)$ и $e(\rho), h(\rho)$ предстоит вычислить, а коэффициенты χ, α, ω известны.

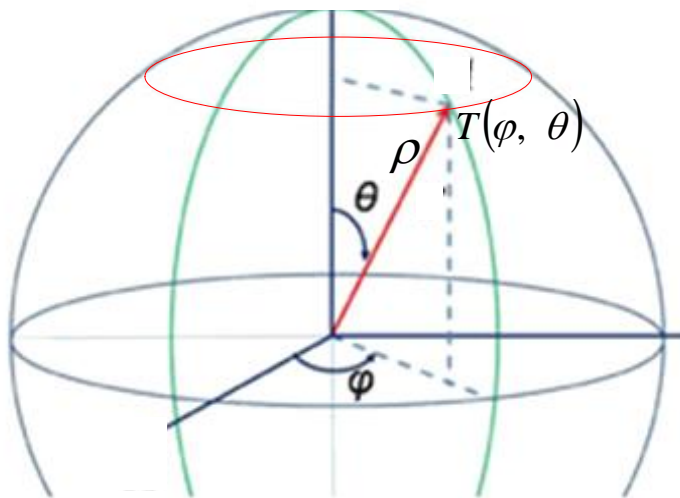


Рис. 1 (Sfera155.vsd).

При этих условиях преобразуем формулы (T1-3) в (T1-4), где приняты следующие обозначения:

$$\boxed{e_\varphi} = \frac{\partial(e_\varphi(\rho))}{\partial(\rho)}, \tag{1}$$

$$\Psi(E_\rho) = \frac{E_\rho}{\rho} + \frac{\partial E_\rho}{\partial \rho} \tag{3}$$

$$T(E_\varphi) = \left(\frac{E_\varphi}{\text{tg}(\theta)} + \frac{\partial(E_\varphi)}{\partial(\theta)} \right) \tag{4}$$

$$q = \kappa\rho + \omega t \tag{5}$$

Из (4, 5) найдем:

$$T(E_\varphi) = \left(\frac{\sin(\theta)}{\text{tg}(\theta)} + \cos(\theta) \right) e_\varphi \cos(q) = 2e_\varphi \cos(\theta) \cos(q) \tag{6}$$

Аналогично,

$$T(E_\theta) = 2e_\theta \cos(\theta) \sin(q) \tag{7}$$

$$T(H_\varphi) = 2h_\varphi \cos(\theta) \sin(q) \tag{8}$$

$$T(H_\theta) = 2h_\theta \cos(\theta) \cos(q) \tag{9}$$

Из (3, 5) найдем:

$$\begin{aligned} \Psi(E_\rho) &= \frac{E_\rho}{\rho} + \frac{\partial E_\rho}{\partial \rho} = \\ &= \left(\frac{e_\rho}{\rho} \cos(\theta) \cos(\kappa\rho + \omega t) + \frac{\partial(e_\rho \cos(\kappa\rho + \omega t))}{\partial \rho} \cos(\theta) \right) \end{aligned}$$

или

$$\Psi(E_\rho) = \left(\Psi_o(e_\rho) \cos(q) - \kappa e_\rho \sin(q) \right) \cos(\theta), \tag{10}$$

где

$$\Psi_o(e_\rho) = \left(\frac{e_\rho}{\rho} + \frac{\partial(e_\rho)}{\partial \rho} \right). \tag{11}$$

Аналогично,

$$\Psi(H_\rho) = \left(\Psi_o(h_\rho) \sin(q) + \kappa h_\rho \cos(q) \right) \cos(\theta), \tag{12}$$

$$\Psi(E_\theta) = \left(\Psi_o(e_\theta) \cos(q) - \kappa e_\theta \sin(q) \right) \sin(\theta), \tag{13}$$

$$\Psi(H_\theta) = \left(\Psi_o(h_\theta) \sin(q) + \kappa h_\theta \cos(q) \right) \sin(\theta), \tag{14}$$

$$\Psi(E_\varphi) = \left(\Psi_o(e_\varphi) \cos(q) - \kappa e_\varphi \sin(q) \right) \sin(\theta), \tag{15}$$

$$\Psi(H_\varphi) = \left(\Psi_o(h_\varphi) \sin(q) + \kappa h_\varphi \cos(q) \right) \sin(\theta). \tag{16}$$

С учетом этих обозначений формулы в таблице **T1-3** принимают вид, приведенный в таблице **T1-4**.

Далее приведенным выше формулам и формулам из таблицы **T2** построим таблицы **T2i, T2ρ, T2Ψ**.

В таблице **T3-2** запишем уравнения Максвелла. Далее примем условие

$$\alpha = 0 \tag{17}$$

Подставим роторы и дивергенции из таблицы **T1-4** в уравнения **T3-2**, учтем условие (17), сократим полученные выражения на функции аргумента θ и результат запишем в таблицу **T3-3**. Затем подставим функции из таблиц **T2i, T2p, T2Psi** в функции **T3-3** и запишем результат в таблицу **T4-2**. В этой таблице и далее применены обозначения вида

$$si = \sin(\chi\rho + \omega t), \tag{18}$$

$$co = \cos(\chi\rho + \omega t). \tag{19}$$

Далее каждое уравнение в таблице **T4-2** заменим на два уравнения, одно из которых содержит слагаемые со множителем si , а другое – со множителем co . Результат запишем в таблицу **T5-2**.

Далее будем использовать известное условие вида

$$\chi = \frac{\omega}{c} \sqrt{\varepsilon\mu} \tag{20}$$

Формулы **T5-2-1, T5-2-5** с учетом этого условия преобразуются в формулы **T5-3-1, T5-3-5** соответственно.

Далее будем полагать (по аналогии с [1]), что существуют следующие зависимости:

$$\bar{e}_\varphi = \sqrt{\frac{\mu}{\varepsilon}} \bar{h}_\theta, \tag{21}$$

$$e_\varphi = \sqrt{\frac{\mu}{\varepsilon}} h_\theta, \tag{22}$$

$$\bar{h}_\varphi = \sqrt{\frac{\varepsilon}{\mu}} \bar{e}_\theta, \tag{23} \quad m$$

$$h_\varphi = \sqrt{\frac{\varepsilon}{\mu}} e_\theta, \tag{24}$$

$$\bar{e}_\theta = \sqrt{\frac{\mu}{\varepsilon}} \bar{h}_\varphi, \tag{25} \quad m$$

$$e_\theta = \sqrt{\frac{\mu}{\varepsilon}} h_\varphi, \tag{26}$$

$$\bar{h}_\theta = \sqrt{\frac{\varepsilon}{\mu}} \bar{e}_\varphi, \tag{27}$$

$$h_\theta = \sqrt{\frac{\varepsilon}{\mu}} e_\varphi. \tag{28}$$

Можно убедиться, что после применения формулы (21-28) к уравнениям **T5-2-2,6,3** эти уравнения сокращаются и принимают вид уравнений **T5-3-2,6,3**. Решение этих уравнений имеет вид:

$$\begin{aligned}
 e_\varphi &= \frac{A}{\rho}, \bar{e}_\varphi = \frac{A}{\rho}, h_\varphi = \frac{A}{\rho}, \bar{h}_\varphi = \frac{A}{\rho}, \\
 e_\theta &= \frac{A}{\rho}, \bar{e}_\theta = \frac{A}{\rho}, h_\theta = \frac{-A}{\rho}, \bar{h}_\theta = \frac{-A}{\rho},
 \end{aligned}
 \tag{29}$$

где A – константы, различные (вообще говоря) для разных переменных. Мы выбрали все константы, равными по абсолютной величине, и знаки, указанные в (29). Такой выбор будет оправдан в дальнейшем.

Наконец, из **T5-3-1**, **T5-3-5** и (29) найдем:

$$h_\rho = \frac{-2A}{\chi\rho^2} \sqrt{\frac{\varepsilon}{\mu}}, \tag{30}$$

$$\bar{h}_\rho = \frac{2A}{\chi\rho^2} \sqrt{\frac{\varepsilon}{\mu}}, \tag{31}$$

$$e_\rho = \frac{-2A}{\chi\rho^2} \sqrt{\frac{\mu}{\varepsilon}}, \tag{32}$$

$$\bar{e}_\rho = \frac{2A}{\chi\rho^2} \sqrt{\frac{\mu}{\varepsilon}}. \tag{33}$$

Таблица **T5-2** содержит систему из 16-ти уравнений с 12-ю неизвестными. Эта система является переопределенной. Выше мы нашли эти 12 неизвестных из решения уравнений **T5-2-1,5,2,6,3**.

Найдем теперь невязку уравнений **T5-2-7,8**. Подставляя (29-33) в уравнение **T5-2-7**, находим:

$$\text{Er}(e_\rho) = -\boxed{e_\rho} - \chi\bar{e}_\rho - \frac{1}{\rho}(2\bar{e}_\theta + e_\rho) = \frac{2A}{\rho^2} \left(\left(\frac{1}{\chi\rho} + \frac{1}{\chi} - 1 \right) \sqrt{\frac{\mu}{\varepsilon}} - 1 \right)$$

$$\text{Er}(\bar{e}_\rho) = -\boxed{\bar{e}_\rho} + \chi e_\rho - \frac{1}{\rho}(2e_\theta + \bar{e}_\rho) = \frac{2A}{\rho^2} \left(\left(1 - \frac{1}{\chi} - \frac{1}{\chi\rho} \right) \sqrt{\frac{\mu}{\varepsilon}} - 1 \right)$$

$$\text{Er}(h_\rho) = -\boxed{h_\rho} + \chi\bar{h}_\rho - \frac{1}{\rho}(2\bar{h}_\theta + h_\rho) = \frac{2A}{\rho^2} \left(\left(1 + \frac{1}{\chi} + \frac{1}{\chi\rho} \right) \sqrt{\frac{\varepsilon}{\mu}} - 1 \right)$$

$$\text{Er}(\bar{h}_\rho) = -\boxed{\bar{h}_\rho} - \chi h_\rho - \frac{1}{\rho}(2h_\theta + \bar{h}_\rho) = \frac{2A}{\rho^2} \left(\left(1 - \frac{1}{\chi} - \frac{1}{\chi\rho} \right) \sqrt{\frac{\varepsilon}{\mu}} - 1 \right)$$

Найдем теперь относительные невязки:

$$\text{Ero}(e_\rho) = \frac{\text{Er}(e_\rho)}{e_\rho} = \left(\left(-\chi + 1 + \frac{1}{\rho} \right) - \chi \sqrt{\frac{\varepsilon}{\mu}} \right)$$

$$\begin{aligned} \text{Ero}(\bar{e}_\rho) &= \frac{\text{Er}(\bar{e}_\rho)}{\bar{e}_\rho} = \left(\left(\chi - 1 - \frac{1}{\rho} \right) - \chi \sqrt{\frac{\varepsilon}{\mu}} \right) \\ \text{Ero}(h_\rho) &= \frac{\text{Er}(h_\rho)}{h_\rho} = \left(\left(\chi + 1 + \frac{1}{\rho} \right) - \chi \sqrt{\frac{\mu}{\varepsilon}} \right) \\ \text{Ero}(\bar{h}_\rho) &= \frac{\text{Er}(\bar{h}_\rho)}{\bar{h}_\rho} = \left(\left(\chi - 1 - \frac{1}{\rho} \right) - \chi \sqrt{\frac{\mu}{\varepsilon}} \right) \end{aligned}$$

В частности, если $\mu = \varepsilon$, например, в вакууме, то

$$\begin{aligned} \text{Ero}(e_\rho) &= \left(1 + \frac{1}{\rho} \right) \\ \text{Ero}(\bar{e}_\rho) &= - \left(1 + \frac{1}{\rho} \right) \\ \text{Ero}(h_\rho) &= \left(1 + \frac{1}{\rho} \right) \\ \text{Ero}(\bar{h}_\rho) &= - \left(1 + \frac{1}{\rho} \right) \end{aligned}$$

Таким образом, амплитуда ошибки дивергенции приблизительно равна амплитуде радиальной напряженности.

Перепишем таблицу **T2-2** в таблицу **T6-2**, отбрасывая функции аргумента θ и заменяя коэффициенты (29) только знаками констант Λ . Используя известные формулы тригонометрии, перепишем таблицу **T6-2** в таблицу **T6-3**, где принято обозначение

$$\beta = \chi\rho + \omega t.$$

Затем прибавим к аргументам функций **T6-3** величину $\frac{\pi}{4}$ и запишем результат (без множителя $\sqrt{2}$) в таблицу **T6-4**. Из этих преобразований следует, что таблица **T2** эквивалентна таблице **T7**.

3. Поток энергии

Плотность потока электромагнитной энергии – вектор Пойнтинга

$$S = \eta E \times H, \tag{1}$$

где

$$\eta = c/4\pi. \tag{2}$$

В системе СИ $\eta = 1$ и формула (1) принимает вид:

$$S = E \times H. \tag{3}$$

В сферических координатах φ, θ, ρ плотность потока электромагнитной энергии имеет три компоненты $S_\varphi, S_\theta, S_\rho$, направленные вдоль радиуса, по окружности, вдоль оси соответственно. В [4] показано, что они определяются по формуле

$$S = \begin{bmatrix} S_\varphi \\ S_\theta \\ S_\rho \end{bmatrix} = \eta(E \times H) = \eta \begin{bmatrix} E_\theta H_\rho - E_\rho H_\theta \\ E_\rho H_\varphi - E_\varphi H_\rho \\ E_\varphi H_\theta - E_\theta H_\varphi \end{bmatrix}. \quad (4)$$

Учитывая (2.7-2.9) из (4) находим:

$$S_\rho = E_\varphi H_\theta - E_\theta H_\varphi \quad (5)$$

Подставляя сюда формулы из таблицы **T7**, находим:

$$\begin{aligned} S_\rho &= -\frac{A}{\rho} \sin(\theta) \sin(\beta) \frac{A}{\rho} \sin(\theta) \sin(\beta) - \frac{A}{\rho} \sin(\theta) \cos(\beta) \frac{A}{\rho} \sin(\theta) \cos(\beta) \\ &= -\frac{A^2}{\rho^2} \sin^2(\theta) (\sin^2(\beta) + \cos^2(\beta)) \end{aligned}$$

или

$$S_\rho = -\frac{A^2}{\rho^2} \sin^2(\theta) \quad (6)$$

Заметим, что площадь поверхности сферы с радиусом ρ равна $4\pi\rho^2$. Тогда поток энергии, проходящий сквозь сферу с радиусом ρ равен

$$\overline{\overline{S}}_\rho = \int_{\theta} 4\pi\rho^2 S_\rho d\theta = -4\pi\rho^2 \eta \frac{A^2}{\rho^2} \int_{\theta} \sin^2(\theta) d\theta$$

или

$$\overline{\overline{S}}_\rho = -4\pi\eta A^2 \int_0^{2\pi} \sin^2(\theta) d\theta$$

или

$$\overline{\overline{S}}_\rho = -4\pi^2 \eta A^2 \quad (7)$$

Таким образом, плотность потока энергии, проходящего сквозь сферу, не зависит от радиуса и не зависит от времени, т.е. этот поток имеет одну и ту же величину на сферической поверхности любого радиуса в любой момент времени. Иначе говоря, поток энергии, направленный вдоль радиуса, сохраняет свою величину с увеличением радиуса и не зависит от времени, что соответствует закону сохранения энергии.

4. Заключение

1. Решение уравнений Максвелла, свободное от указанных выше недостатков, представлено в таблице Т7.

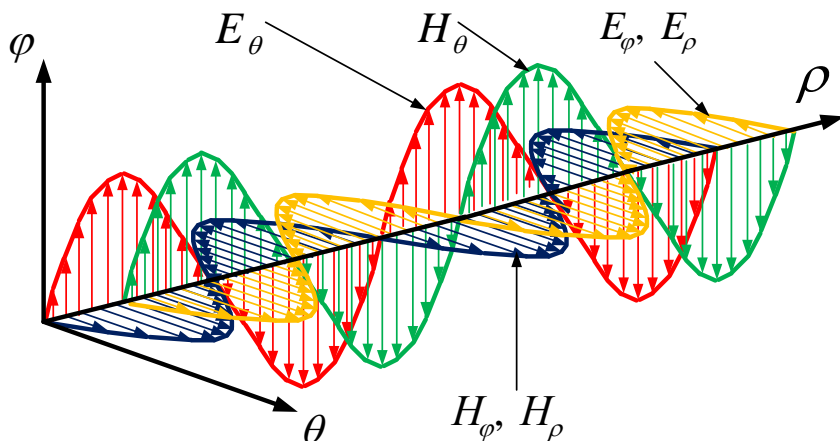
2. Решение является монохроматическим.

3. Амплитуды напряженностей поперечной волны пропорциональны ρ^{-2}

4. Одноименные (по координатам ρ , φ , θ) электрические и магнитные напряженности сдвинуты по фазе на четверть периода.

5. Поток энергии, направленный вдоль радиуса, сохраняет свою величину с увеличением радиуса и не зависит от времени, что соответствует закону сохранения энергии.

6. Решение является нестрогим в том смысле, что равенство нулю дивергенций магнитной и электрической напряженностей выполняется неточно. При этом в решении появляется продольная волна. Амплитуды напряженностей продольной волны пропорциональны ρ^{-3} , т.е. продольная волна «затухает» быстрее поперечной. Это означает, что точность решения возрастает с увеличением радиуса.



Литература

1. Хмельник С.И. Новое решение уравнений Максвелла для сферической волны в дальней зоне, <http://vixra.org/abs/1711.0242>, 2017-11-08.
2. Пименов Ю.В., Вольман В.И., Муравцов А.Д. Техническая электродинамика. Под редакцией Ю.В. Пименова, Москва, 2002 г., 536 стр.

3. Андре Анго. Математика для электро- и радиоинженеров, изд. «Наука», Москва, 1964, 772 с.
4. Хмельник С.И.. Непротиворечивое решение уравнений Максвелла, publ. “MiC”, Israel, Printed in USA, Lulu Inc., ID 18555552, ISBN 978-1-329-96074-9, 2016, 196 с.
5. Хмельник С.И. Вариационный принцип экстремума в электромеханических и электродинамических системах, пятая редакция. Publisher by “MiC”, printed in USA, Lulu Inc., ID 1769875, ISBN 978-0-557-4837-3, 2014, 360 с.
6. Ближние и дальние зоны электромагнитного поля, <http://lib.izdatelstwo.com/Papers2/BIZ.pdf>
7. Неганов В.А., Табаков Д.П., Яровой Д.П. Современная теория и практические применения антенн. Под ред. Неганова В.А. Изд. «Радиотехника», Москва, 2009, 720 стр.
8. Antennas: Theory and Practice», Sergei A. Schelkunoff and Harald T. Friis, Bell Telephone Laboratories, New York: John Wiley & Sons, 1952. (Щелкунов С. А., Фриис Г.Т. Антенны. Теория и практика - Москва: Советское радио, 1955, 604 с.)

Таблицы

Таблица 1.

1	2	3	4
1	$\text{rot}_\rho(E)$	$\frac{E_\varphi}{\rho g(\theta)} + \frac{\partial E_\varphi}{\rho \partial \theta} - \frac{\partial E_\theta}{\rho \sin(\theta) \partial \varphi}$	$\frac{T(E_\varphi)}{\rho} - \frac{i\alpha E_\theta}{\rho \sin(\theta)}$
5	$\text{rot}_\rho(H)$	$\frac{H_\varphi}{\rho g(\theta)} + \frac{\partial H_\varphi}{\rho \partial \theta} - \frac{\partial H_\theta}{\rho \sin(\theta) \partial \varphi}$	$\frac{T(H_\varphi)}{\rho} - \frac{i\alpha H_\theta}{\rho \sin(\theta)}$
2	$\text{rot}_\theta(E)$	$\frac{\partial E_\rho}{\rho \sin(\theta) \partial \varphi} - \frac{E_\varphi}{\rho} - \frac{\partial E_\varphi}{\partial \rho}$	$\frac{i\alpha E_\rho}{\rho \sin(\theta)} - \psi(E_\varphi)$
3	$\text{rot}_\varphi(E)$	$\frac{E_\theta}{\rho} + \frac{\partial E_\theta}{\partial \rho} - \frac{\partial E_\rho}{\rho \partial \varphi}$	$\psi(E_\theta) - \frac{i\alpha E_\rho}{\rho}$
6	$\text{rot}_\theta(H)$	$\frac{\partial H_\rho}{\rho \sin(\theta) \partial \varphi} - \frac{H_\varphi}{\rho} - \frac{\partial H_\varphi}{\partial \rho}$	$\frac{i\alpha H_\rho}{\rho \sin(\theta)} - \psi(H_\varphi)$
7	$\text{rot}_\varphi H$	$\frac{H_\theta}{\rho} + \frac{\partial H_\theta}{\partial \rho} - \frac{\partial H_\rho}{\rho \partial \varphi}$	$\psi(H_\theta) - \frac{i\alpha H_\rho}{\rho}$

4	$\text{div}(E)$	$\frac{E_\rho}{\rho} + \frac{\partial E_\rho}{\partial \rho} + \frac{E_\theta}{\rho \text{tg}(\theta)} +$ $+ \frac{\partial E_\theta}{\rho \partial \theta} + \frac{\partial E_\varphi}{\rho \sin(\theta) \partial \varphi}$	$\psi(E_\rho) + \frac{T(E_\theta)}{\rho} + \frac{i\alpha E_\varphi}{\rho \sin(\theta)}$
8	$\text{div}(H)$	$\frac{H_\rho}{\rho} + \frac{\partial H_\rho}{\partial \rho} + \frac{H_\theta}{\rho \text{tg}(\theta)} +$ $+ \frac{\partial H_\theta}{\rho \partial \theta} + \frac{\partial H_\varphi}{\rho \sin(\theta) \partial \varphi}$	$\psi(H_\rho) + \frac{T(H_\theta)}{\rho} + \frac{i\alpha H_\varphi}{\rho \sin(\theta)}$

Таблица 2.

1	2
	$E_\theta = \sin(\theta)(e_\theta \sin(\chi\rho + \omega t) + \bar{e}_\theta \cos(\chi\rho + \omega t))$
	$E_\varphi = \sin(\theta)(e_\varphi \cos(\chi\rho + \omega t) + \bar{e}_\varphi \sin(\chi\rho + \omega t))$
	$E_\rho = \cos(\theta)(e_\rho \cos(\chi\rho + \omega t) + \bar{e}_\rho \sin(\chi\rho + \omega t))$
	$H_\theta = \sin(\theta)(h_\theta \cos(\chi\rho + \omega t) + \bar{h}_\theta \sin(\chi\rho + \omega t))$
	$H_\varphi = \sin(\theta)(h_\varphi \sin(\chi\rho + \omega t) + \bar{h}_\varphi \cos(\chi\rho + \omega t))$
	$H_\rho = \cos(\theta)(h_\rho \sin(\chi\rho + \omega t) + \bar{h}_\rho \cos(\chi\rho + \omega t))$

Таблица 2i.

1	2
	$i\omega E_\theta = \omega \sin(\theta)(e_\theta \cos(\chi\rho + \omega t) - \bar{e}_\theta \sin(\chi\rho + \omega t))$
	$i\omega E_\varphi = \omega \sin(\theta)(-e_\varphi \sin(\chi\rho + \omega t) + \bar{e}_\varphi \cos(\chi\rho + \omega t))$
	$i\omega E_\rho = \omega \cos(\theta)(-e_\rho \sin(\chi\rho + \omega t) + \bar{e}_\rho \cos(\chi\rho + \omega t))$
	$i\omega H_\theta = \omega \sin(\theta)(-h_\theta \sin(\chi\rho + \omega t) + \bar{h}_\theta \cos(\chi\rho + \omega t))$
	$i\omega H_\varphi = \omega \sin(\theta)(h_\varphi \cos(\chi\rho + \omega t) - \bar{h}_\varphi \sin(\chi\rho + \omega t))$
	$i\omega H_\rho = \omega \cos(\theta)(h_\rho \cos(\chi\rho + \omega t) - \bar{h}_\rho \sin(\chi\rho + \omega t))$

Таблица 2ρ.

1	2
	$\frac{\partial E_\theta}{\partial \rho} = \chi \sin(\theta) (e_\theta \cos(\chi\rho + \omega t) - \bar{e}_\theta \sin(\chi\rho + \omega t))$
	$\frac{\partial E_\varphi}{\partial \rho} = \chi \sin(\theta) (-e_\varphi \sin(\chi\rho + \omega t) + \bar{e}_\varphi \cos(\chi\rho + \omega t))$
	$\frac{\partial E_\rho}{\partial \rho} = \chi \cos(\theta) (-e_\rho \sin(\chi\rho + \omega t) + \bar{e}_\rho \cos(\chi\rho + \omega t))$
	$\frac{\partial H_\theta}{\partial \rho} = \chi \sin(\theta) (-h_\theta \sin(\chi\rho + \omega t) + \bar{h}_\theta \cos(\chi\rho + \omega t))$
	$\frac{\partial H_\varphi}{\partial \rho} = \chi \sin(\theta) (h_\varphi \cos(\chi\rho + \omega t) - \bar{h}_\varphi \sin(\chi\rho + \omega t))$
	$\frac{\partial H_\rho}{\partial \rho} = \cos(\theta) \left(\chi (h_\rho \cos(\chi\rho + \omega t) - \bar{h}_\rho \sin(\chi\rho + \omega t)) \right)$

Таблица 2Ψ.

	2
	$\Psi(E_\theta) = \frac{E_\theta}{\rho} + \frac{\partial E_\theta}{\partial \rho} = \sin(\theta) \left(\frac{1}{\rho} (e_\theta \text{si} + \bar{e}_\theta \text{co}) + \chi (e_\theta \text{co} - \bar{e}_\theta \text{si}) + (\boxed{e_\theta} \text{si} + \boxed{\bar{e}_\theta} \text{co}) \right)$
	$\Psi(E_\varphi) = \frac{E_\varphi}{\rho} + \frac{\partial E_\varphi}{\partial \rho} = \sin(\theta) \left(\frac{1}{\rho} (e_\varphi \text{co} + \bar{e}_\varphi \text{si}) + \chi (-e_\varphi \text{si} + \bar{e}_\varphi \text{co}) + (\boxed{e_\varphi} \text{co} + \boxed{\bar{e}_\varphi} \text{si}) \right)$
	$\Psi(E_\rho) = \frac{E_\rho}{\rho} + \frac{\partial E_\rho}{\partial \rho} = \cos(\theta) \left(\frac{1}{\rho} (e_\rho \text{co} + \bar{e}_\rho \text{si}) + \chi (-e_\rho \text{si} + \bar{e}_\rho \text{co}) + (\boxed{e_\rho} \text{co} + \boxed{\bar{e}_\rho} \text{si}) \right)$
	$\Psi(H_\theta) = \frac{H_\theta}{\rho} + \frac{\partial H_\theta}{\partial \rho} = \sin(\theta) \left(\frac{1}{\rho} (h_\theta \text{co} + \bar{h}_\theta \text{si}) + \chi (-h_\theta \text{si} + \bar{h}_\theta \text{co}) + (\boxed{h_\theta} \text{co} + \boxed{\bar{h}_\theta} \text{si}) \right)$
	$\Psi(H_\varphi) = \frac{H_\varphi}{\rho} + \frac{\partial H_\varphi}{\partial \rho} = \sin(\theta) \left(\frac{1}{\rho} (h_\varphi \text{si} + \bar{h}_\varphi \text{co}) + \chi (h_\varphi \text{co} - \bar{h}_\varphi \text{si}) + (\boxed{h_\varphi} \text{si} + \boxed{\bar{h}_\varphi} \text{co}) \right)$
	$\Psi(H_\rho) = \frac{H_\rho}{\rho} + \frac{\partial H_\rho}{\partial \rho} = \cos(\theta) \left(\frac{1}{\rho} (h_\rho \text{si} + \bar{h}_\rho \text{co}) + \chi (h_\rho \text{co} - \bar{h}_\rho \text{si}) + (\boxed{h_\rho} \text{si} + \boxed{\bar{h}_\rho} \text{co}) \right)$

Таблица 3.

1	2	3
1.	$\text{rot}_\rho E + \frac{\mu}{c} \frac{\partial H_\rho}{\partial t} = 0$	$\frac{T(E_\varphi)}{\rho} + \frac{i\omega\mu H_\rho}{c} = 0$
5.	$\text{rot}_\rho H - \frac{\varepsilon}{c} \frac{\partial E_\rho}{\partial t} = 0$	$\frac{T(H_\varphi)}{\rho} - \frac{i\omega\varepsilon E_\rho}{c} = 0$
2.	$\text{rot}_\theta E + \frac{\mu}{c} \frac{\partial H_\theta}{\partial t} = 0$	$-\Psi(E_\varphi) + \frac{i\omega\mu H_\theta}{c} = 0$
3.	$\text{rot}_\varphi E + \frac{\mu}{c} \frac{\partial H_\varphi}{\partial t} = 0$	$-\Psi(E_\theta) + \frac{i\omega\mu H_\varphi}{c} = 0$
6.	$\text{rot}_\theta H - \frac{\varepsilon}{c} \frac{\partial E_\theta}{\partial t} = 0$	$-\Psi(H_\varphi) - \frac{i\omega\varepsilon E_\theta}{c} = 0$
7.	$\text{rot}_\varphi H - \frac{\varepsilon}{c} \frac{\partial E_\varphi}{\partial t} = 0$	$\Psi(H_\theta) - \frac{i\omega\varepsilon E_\varphi}{c} = 0$
4.	$\text{div}(E) = 0$	$\Psi(E_\rho) + \frac{T(E_\theta)}{\rho} = 0$
8.	$\text{div}(H) = 0$	$\Psi(H_\rho) + \frac{T(H_\theta)}{\rho} = 0$

Таблица 4.

1	2
1.	$\frac{2}{\rho}(e_\varphi \text{co} + \bar{e}_\varphi \text{si}) + \frac{\mu}{c}\omega(h_\rho \text{co} - \bar{h}_\rho \text{si}) = 0$
5.	$\frac{2}{\rho}(h_\varphi \text{si} + \bar{h}_\varphi \text{co}) - \frac{\varepsilon}{c}\omega(-e_\rho \text{si} + \bar{e}_\rho \text{co}) = 0$
2.	$-\left(\frac{1}{\rho}(e_\varphi \text{co} + \bar{e}_\varphi \text{si}) + \chi(-e_\varphi \text{si} + \bar{e}_\varphi \text{co}) + (\boxed{e_\varphi} \text{co} + \boxed{\bar{e}_\varphi} \text{si})\right) + \frac{\mu}{c}\omega(-h_\theta \text{si} + \bar{h}_\theta \text{co}) = 0$
3.	$-\left(\frac{1}{\rho}(e_\theta \text{si} + \bar{e}_\theta \text{co}) + \chi(e_\theta \text{co} - \bar{e}_\theta \text{si}) + (\boxed{e_\theta} \text{si} + \boxed{\bar{e}_\theta} \text{co})\right) + \frac{\mu}{c}\omega(h_\varphi \text{co} - \bar{h}_\varphi \text{si}) = 0$

6.	$-\left(\frac{1}{\rho}(h_{\varphi}si + \bar{h}_{\varphi}co) + \chi(h_{\varphi}co - \bar{h}_{\varphi}si) + (\boxed{h_{\varphi}}si + \boxed{\bar{h}_{\varphi}}co)\right)$ $-\frac{\varepsilon}{c}\omega(e_{\theta}co - \bar{e}_{\theta}si) = 0$
7.	$\left(\frac{1}{\rho}(h_{\theta}co + \bar{h}_{\theta}si) + \chi(-h_{\theta}si + \bar{h}_{\theta}co) + (\boxed{h_{\theta}}co + \boxed{\bar{h}_{\theta}}si)\right)$ $-\frac{\varepsilon}{c}\omega(-e_{\varphi}si + \bar{e}_{\varphi}co) = 0$
4.	$\left(\frac{1}{\rho}(e_{\rho}co + \bar{e}_{\rho}si) + \chi(-e_{\rho}si + \bar{e}_{\rho}co) + (\boxed{e_{\rho}}co + \boxed{\bar{e}_{\rho}}si)\right)$ $+\frac{2}{\rho}(e_{\theta}si + \bar{e}_{\theta}co) = 0$
8.	$\left(\frac{1}{\rho}(h_{\rho}si + \bar{h}_{\rho}co) + \chi(h_{\rho}co - \bar{h}_{\rho}si) + (\boxed{h_{\rho}}si + \boxed{\bar{h}_{\rho}}co)\right)$ $+\frac{2}{\rho}(h_{\theta}co + \bar{h}_{\theta}si) = 0$

Таблица 5

1	2	3
1.	$\frac{2}{\rho}e_{\varphi} + \frac{\mu\omega}{c}h_{\rho} = 0$ $\frac{2}{\rho}\bar{e}_{\varphi} - \frac{\mu\omega}{c}\bar{h}_{\rho} = 0$	$h_{\rho} = \frac{-2}{\chi\rho}\sqrt{\frac{\varepsilon}{\mu}}e_{\varphi}$ $\bar{h}_{\rho} = \frac{2}{\chi\rho}\sqrt{\frac{\varepsilon}{\mu}}\bar{e}_{\varphi}$
5.	$\frac{2}{\rho}h_{\varphi} + \frac{\varepsilon\omega}{c}e_{\rho} = 0$ $\frac{2}{\rho}\bar{h}_{\varphi} - \frac{\varepsilon\omega}{c}\bar{e}_{\rho} = 0$	$e_{\rho} = \frac{-2}{\chi\rho}\sqrt{\frac{\mu}{\varepsilon}}h_{\varphi}$ $\bar{e}_{\rho} = \frac{2}{\chi\rho}\sqrt{\frac{\mu}{\varepsilon}}\bar{h}_{\varphi}$
2.	$\boxed{e_{\varphi}} = -\chi\bar{e}_{\varphi} - \frac{1}{\rho}e_{\varphi} + \frac{\mu\omega}{c}\bar{h}_{\theta}$ $\boxed{\bar{e}_{\varphi}} = \chi e_{\varphi} - \frac{1}{\rho}\bar{e}_{\varphi} - \frac{\mu\omega}{c}h_{\theta}$	$\boxed{e_{\varphi}} = -\frac{1}{\rho}e_{\varphi}$ $\boxed{\bar{e}_{\varphi}} = -\frac{1}{\rho}\bar{e}_{\varphi}$

6.	$\boxed{h_\varphi} = \chi \bar{h}_\varphi - \frac{1}{\rho} h_\varphi - \frac{\varepsilon\omega}{c} \bar{e}_\theta$ $\boxed{\bar{h}_\varphi} = -\chi h_\varphi - \frac{1}{\rho} \bar{h}_\varphi + \frac{\varepsilon\omega}{c} e_\theta$	$\boxed{h_\varphi} = -\frac{1}{\rho} h_\varphi$ $\boxed{\bar{h}_\varphi} = -\frac{1}{\rho} \bar{h}_\varphi$
3.	$\boxed{e_\theta} = \chi \bar{e}_\theta - \frac{1}{\rho} e_\theta - \frac{\mu\omega}{c} \bar{h}_\varphi$ $\boxed{\bar{e}_\theta} = -\chi e_\theta - \frac{1}{\rho} \bar{e}_\theta + \frac{\mu\omega}{c} h_\varphi$	$\boxed{e_\theta} = -\frac{1}{\rho} e_\theta$ $\boxed{\bar{e}_\theta} = -\frac{1}{\rho} \bar{e}_\theta$
7.	$\boxed{h_\theta} = -\chi \bar{h}_\theta - \frac{1}{\rho} h_\theta + \frac{\varepsilon\omega}{c} \bar{e}_\varphi$ $\boxed{\bar{h}_\theta} = \chi h_\theta - \frac{1}{\rho} \bar{h}_\theta - \frac{\varepsilon\omega}{c} e_\varphi$	$\boxed{h_\theta} = -\frac{1}{\rho} h_\theta$ $\boxed{\bar{h}_\theta} = -\frac{1}{\rho} \bar{h}_\theta$
4.	$\boxed{e_\rho} = -\chi \bar{e}_\rho - \frac{1}{\rho} (2\bar{e}_\theta + e_\rho)$ $\boxed{\bar{e}_\rho} = \chi e_\rho - \frac{1}{\rho} (2e_\theta + \bar{e}_\rho)$	
8.	$\boxed{h_\rho} = \chi \bar{h}_\rho - \frac{1}{\rho} (2\bar{h}_\theta + h_\rho)$ $\boxed{\bar{h}_\rho} = -\chi h_\rho - \frac{1}{\rho} (2h_\theta + \bar{h}_\rho)$	

Таблица 6.

1	2	3	4
E_θ	$(\sin(\chi\rho + \omega t) + \cos(\chi\rho + \omega t))$	$\sqrt{2}\sin\left(\frac{\pi}{4} + \beta\right)$	$\cos(\beta)$
E_φ	$(\cos(\chi\rho + \omega t) - \sin(\chi\rho + \omega t))$	$\sqrt{2}\cos\left(\frac{\pi}{4} + \beta\right)$	$\sin(\beta)$
E_ρ	$(\cos(\chi\rho + \omega t) + \sin(\chi\rho + \omega t))$	$\sqrt{2}\sin\left(\frac{\pi}{4} + \beta\right)$	$\cos(\beta)$
H_θ	$(-\cos(\chi\rho + \omega t) + \sin(\chi\rho + \omega t))$	$-\sqrt{2}\cos\left(\frac{\pi}{4} + \beta\right)$	$-\sin(\beta)$
H_φ	$(\sin(\chi\rho + \omega t) + \cos(\chi\rho + \omega t))$	$\sqrt{2}\sin\left(\frac{\pi}{4} + \beta\right)$	$\cos(\beta)$
H_ρ	$(-\sin(\chi\rho + \omega t) - \cos(\chi\rho + \omega t))$	$-\sqrt{2}\sin\left(\frac{\pi}{4} + \beta\right)$	$-\cos(\beta)$

Таблица 7.

1	2
	$E_{\theta} = \frac{A}{\rho} \sin(\theta) \cos(\beta)$
	$E_{\varphi} = \frac{A}{\rho} \sin(\theta) \sin(\beta)$
	$E_{\rho} = \frac{2A}{\chi \rho^2} \cos(\theta) \cos(\beta)$
	$H_{\theta} = -\frac{A}{\rho} \sin(\theta) \sin(\beta)$
	$H_{\varphi} = \frac{A}{\rho} \sin(\theta) \cos(\beta)$
	$H_{\rho} = -\frac{2A}{\chi \rho^2} \sqrt{\frac{\varepsilon}{\mu}} \cos(\theta) \cos(\beta)$